

かつたこと、また行動区域が流氷帶までの寒冷海域が多く見張能率が低下したということも考えられる。

さらに鯨のみならず、ユーハウジアのバッチャや毎時観測記録も行なつたので、探鯨以外の作業もあつたことなどが挙げられる。見張による量的を資源推定のためには、見張能力、見張分担区域構成なども充分考慮した手段が選ばれなければならないと考えられる。

5) 第5千代田丸による調査について

奈須 敏二（東海区水産研究所）

(1) はしがき

極洋捕鯨、大洋漁業および日本水産の3社共同による、南極洋域鯨族資源並びに漁場調査が、極洋捕鯨所属第5千代田丸（757トン、1350馬力、105ノット）で実施された。

斯様な民間団体による共同資源調査は、恐らく最初のケースと考えられ（目下海外トロール漁場の共同調査が実施されている）、非常に意義あることであり、将来とも政府機関などのバックアップを得て、鯨のみならず他の漁業においても是非実施したいものである。

今回の調査は、次に示してあるように昭和41年11月19日大阪を出港し、12月7日から翌昭和42年3月21日にいたる103日（寄港などに要した日数を除く）にわたつて調査を行ない、4月16日横浜へ入港した。

行動経過表

昭和41年11月19日	大阪出港
" 12月 6日	フリマントル入港（オーストラリア）
" 12月 6日	同出港
" 12月 7日	調査開始（34°39'S, 113°24'E）
昭和42年 1月 23日	ウェリントン入港（ニュージーランド）
" 1月 24日	同出港
" 3月 21日	調査終了
" 3月 22日	ウェリントン入港
" 3月 23日	同出港
" 4月 16日	横浜入港

調査は目視観察が主となり、大型鯨類、小型鯨類、鰐脚類、海鳥数その他変色水域、氷山等更に鯨族標識について実施された。

海洋観測は、1日4回のBT観測および電気水温計による表面観測（電気水温計）の温度をチェックする意味で棒状温度計による測温も実施された）、および水色測定は毎時間行なわれた。なお、BT測点においては透明度の測定および約50点において海中の音波散乱層（DSLを含む）の観察がなされた。

気象観測は、天候、気圧、風向、風力、気温、視界について毎時間行なわれた。

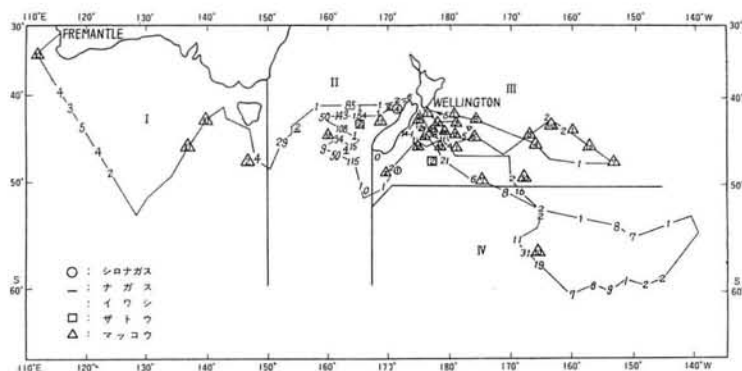
調査海域は約 35°S — 60°S 、 113°E — 140°W の範囲に及んでいるが、第1図から明らかのように、部分的に南北方向における巾など若干異なっている。従って、この調査海域を海洋および気象学的な諸条件から4海域に大別し、便宜上それぞれ海域I、II、IIIおよびIVとした。

なお、以下取り纏めに際し、
海域IIIは1月
14日—2月
12日と、3月
10日—3月
21日の2回に
わたり調査が実
施されたため、
前期をIII'、後
期をIII''とし両
者を纏めてIIIとした。

(2) 鯨の発見状況

第1表には、海域別の鯨種別発見頭数、調査浬数および風力、視界の平均値を示した。ここで用いた調査浬数とは、夜間および気象の悪条件等による探鯨不可能な航走浬数は除外してある。

第1図 調査航跡と発見鯨の分布。



第1表 海域別の気象条件および鯨の発見頭数

期間	海域	探鯨 時間						気象				鯨			種	発見頭数/100浬	発見回数/100浬
		距離	風力	視界	シロナガス	ナガズ	イワシ	ザトウ	マッコウ	計	イワシ	マッコウ	イワシ	マッコウ			
12月7日～ 12月22日	I	285	11	2,540	53	67	0	0	22	0	32	54	0.87	126	0.47	0.20	
12月23日～ 1月13日	II	309	11	3,068	47	72	4	20	864	2	23	913	2816	0.75	329	0.16	
1月14日～ 2月12日	III'	388	55	3,726	46	66	1	2	65	2	229	299	1.74	615	0.75	1.05	
2月13日～ 3月9日	IV	292	00	2,613	59	61	0	0	138	0	10	143	5.08	0.38	2.26	0.08	
3月10日～ 3月21日	III''	130	20	1,108	61	61	0	0	53	0	187	240	4.78	1688	208	0.81	
III'+III''	III	519	15	4,834	51	64	1	2	118	2	416	534	2.44	861	1.06	0.99	
計		1,855	37	13,055	51	66	5	22	1,137	4	481	1,649	871	369	1.71	0.46	

鯨種別発見頭数はシロナガス5、ナガズ22、ザトウ4、イワシ1,137およびマッコウ481頭、合計1,649頭となっている。なお、発見頭数のもっと多かった海域IIでは、

約20頭以上の群構成頭数算定には、過大推算を避けるため、若干過少に頭数の推定がなされている。

イワシクジラ——海域IIにおいて、その発見回数はもっとも多く101回、頭数864頭を記録し、それぞれ全体の49.8%（発見回数）、75.9%（発見頭数）を占めている。なお、同海域では調査100浬に対し、329回の割合で発見し、海域IVにおける326回との差は0.03回となっている。しかし、分布密度においては100浬当たり海域IIの2816頭に対し海域IVでは5.08頭で、海域IIの1.8%程度に過ぎない。従って第1表からも明らかなように、海域IIにおいては、イワシクジラの分布密度および量とともに他の海域に比較して、非常に大きいことが分かる。

海域Iは、本調査において発見回数および分布密度ともに最低値（12回、0.47回／100浬、22頭、0.87頭／100浬）を示している。その原因としては、調査が多少早期に実施されたこともあげなければならないが、海洋条件も比較的単調であったことが注目される。

次に、海域IIIの2回にわたる調査は、前期が1月14日～2月12日に至る約3700浬、後期が3月10日～3月21日に至る約1,100浬と条件が異なっている。従って、両期間についての種々を比較は避けるが、前、後期を通じて分布海域が一致していたことは、この海域における鯨の分布が、局部的に限られているのではないかと考えられる。

なお、鯨の発見については、風力、視界などの気象条件が重要な要素として取り上げられる。第1表からも明らかなように、海域IIでは本調査においてもっとも気象条件に恵まれていたことが分る。しかし、鯨の分布密度および量に関しては、その有利な気象条件を考慮しても、第1表に示された数字は他の海域と比較した場合、実情に近い状態を反映しているものと考えられる。

海域IIIの後期（III'）およびIVにおける発見鯨の結果については、気象条件に起因した探鯨能力の低下を充分に考慮する必要がある。

(3) 発見頭数に対する考察

Mackintosh & Brown (1956)によれば、船から1浬以内の発見頭数は、実際の80～90%と推定しているが、その値は観察者の構成等により異なって来るものと考えられる。例えば、第5千代田丸では発見回数のピークが2～3浬の範囲に現われている。従って、2～3浬以内での発見頭数が、実際の80～90%に相当するものと仮定しておこう。

すると、2～3浬において発見された384頭は、夫々480頭の80%、427頭の90%に当る。

そこで、

調査面積 : a

発見頭数 : n

発見率 : p

推定漁場面積 : A

A における実在推定頭数 : N

とし、推定海域における鯨の分布密度を均一とすれば

$$N = \frac{nA}{ap}$$

で表わされる。

(4) 調査面積の決定法

2(有効視界半径) × (有効調査浬数)

この場合有効視界半径は 6 浬を採用した。

発見率 p の決定法

2 ~ 3 浬の 1 浬範囲で発見された頭数が 80% と仮定した場合、実在推定頭数は 480 頭であるから、有効視界 6 浬の範囲では $480 \times 6 = 2,880$ 頭と推定され、同様に 90% とした場合には、 $427 \times 6 = 2,562$ 頭となる。ところが、実際の発見頭数は 1,137 頭である。従つて、 p は次のように推定される。

$$80\% \text{ とした場合} \quad \frac{1,137}{2,880} = 39.5\%$$

$$90\% \quad " \quad \frac{1,137}{2,562} = 44.4\%$$

よって、第 5 千代田丸で調査した海域に実在していたイワシクジラの推定頭数は、次の表に示したように 2,570 — 2,880 頭となる。

海 域	発 見 頭 数	$\overbrace{\qquad\qquad\qquad}^p$	
		44.4%	39.5%
I	22	49.8	55.7
II	864	1,954.7	2,187.3
III	118	267.0	298.7
IV	133	300.9	336.7
計	1,137	2,572.4	2,878.4

マツコウクジラ——マツコウクジラの発見回数および頭数は、夫々 60 回、481 頭でイワシクジラに比較して少なくなっている。海域別には、南緯 50 度以南に当る海域 IV でもっと少なく、100 浬当たりの発見回数は 0.08 回、頭数は僅かに 0.38 頭であった。一方、発見頭数がもつとも多かつた海域は、III の 48 回 (861 頭 / 100 浬) で、それらの値は、夫々全体の 86.5%、80.0% を占めている。この海域での特徴は、単独遊泳中の個体が 10 例観察されたが、40 頭以上から構成された群が 4 例あり、特に $44^{\circ} 28' S, 179^{\circ} 35' W$ で発見された約 50 頭の群には、体長 4 m 未満と推定された仔鯨が若干含まれていたことである。

(5) 海 況

深層における状態は後日報告の予定で、こゝでは主としてタスマン海（海域 II）の表層に

関し報告する。

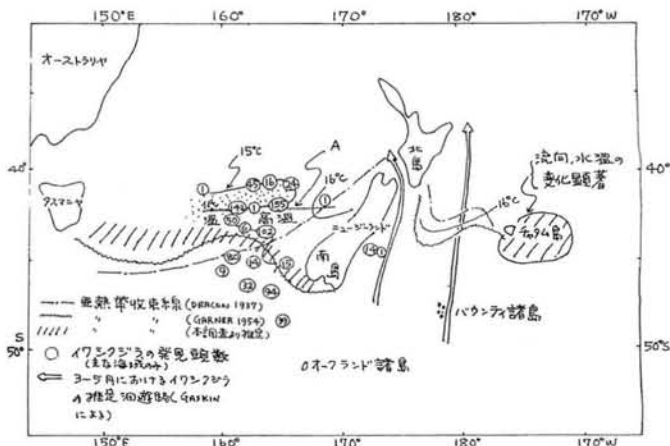
オーストラリヤ南方海域における等温線は、表面から 200m 層まで殆んど同様な分布状態を示していて、各等温線は平行し東西方向に走つている。

それらの等温線は、タスマニア島付近からニュージーランドの南に向かって蛇行している。その状態から、タスマニア島東部 150°E 付近には、東オーストラリヤ海流の続流が南下し、その東方にはほぼ 155°~160°E を中心として、亜南極系水塊が北上していることが推察される。

亜熱帯収束線については、温度の資料のみのため第2図に斜線で推定分布位置を示した。なお、同図には Deacon (1937) および Garner (1954) による資料も加えたが、両者の分布はニュージーランド寄りで非常に異なっている。本調査で得られた水温資料からでは、ニュージーランドの西方周辺岸に亜南極系水塊は認められず、亜熱帯収束線の分布は Garner による結果にほぼ一致している。

亜熱帯収束線の北方海域における 160°E ~ 166°E 付近では、本調査海域のうちでもっとも複雑な水温分布を

示していた。即ち、ニュージーランド西岸寄りの 40°~43°S, 168°~170°E 付近には、表面において 16°C 以上の高温水が、南西方向に向かつて分布している。その西側に 15°C 線が分布しており、便宜上 15°C 以上の水域を高温水、15°C 以下の水域を低温水とする。41°~42°S においては、160°~166°E



第2図 タスマン海およびニュージーランド東方海域における海況と鯨の分布。

E 付近まで非常に顕著な舌状を形成した低温水が東に向かい、またその南には 43°~44°S 付近にも東に向かう低温水が分布している。

そして、これら高・低温水による境界は東西方向へ極端に蛇行しひと紐ジーランド南端に向かつて分布している。

この海域における発見鯨の大部分は、その潮境に集中しており、特に分布密度の大きい海域は 41°~42°S, 160°~166°E 付近を東方へ張り出している低温水の周辺から高温水に相当している。

参考のために、第2図の観測線 A における水温の断面分布を第3図に示した。

なお、この海域で発見された鯨群の遊泳状態観察結果は、次に示すように他の海域に比較

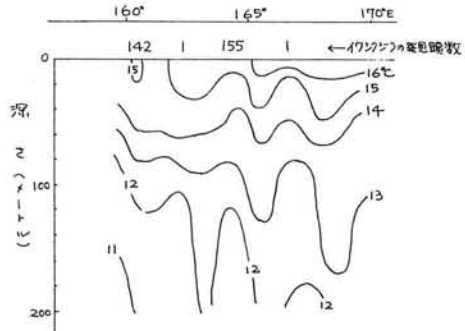
して、回遊状態にある群が多くなっている。ここで言う回遊とは Migration の意味ではなく、遊泳方向が一定していない場合を指し、概して索餌行動中の場合が多い。また、実際に索餌行動中の観察例も多く、海況など種々な要素から判断して海域 II は潮境に形成された索餌漁場であったことが結論されよう。

第2表 海域別遊泳方向

海 域	遊 泳			計	回遊/計×100%
	方向の決まつ ているもの	回 遊	不 明		
I	7	5	0	12	41.7%
II	35	47	6	88	57.3
III	36	18	6	60	33.3
IV	28	24	8	55	46.1
全 域	106	94	15	215	43.7

となつてゐる。第2図に、その推定回遊路を示したが、島寄りと沖合に判つきりと分かれしており、その中間では全く見られないと言わわれてゐる (Gaskin は Dead area と呼んでいた)。

なお、南島中央部付近で、3月ソ連船団による操業も過去に実施されている。今回の調査では、3月20日に南島距岸15~30浬付近で、15頭のイワシクジラを発見した。



第8図 南緯42度線に沿った水温の断面分布とイワシクジラの発見位置

次に、ニュージーランド東方では Gaskin によれば南島に沿つた海域とその沖合に3~5月、多量のイワシクジラが回遊することが明らか